

Schiff碱铜(I)配合物的合成、结构及其与DNA相互作用的研究

蔡铁军^{*1} 彭振山¹ 邓 谦¹ 龙云飞¹ 邓彤彤¹ 郁开北²

(¹湖南科技大学化学化工学院,湘潭 411201)

(²中科院成都有机化学研究所,成都 610041)

关键词: 自组装 框架化合物 晶体结构 DNA 共振光散射光谱

分类号: O614.121

自从发现异烟肼具有抗结核病的作用后,对其与过渡金属及稀土金属的相互作用研究较多^[1~3]。但对异烟肼形成希夫碱后的研究则较少。希夫碱异烟肼缩吡啶-2-甲醛(INHPy)作为一种螯合剂,在治疗铁超载疾病和抗癌方面存在潜在的应用前景^[4]。铜(II)的配合物与DNA相互作用已有系统的研究,但铜(I)配合物与DNA相互作用的研究则较少^[5,6]。我们以INHPy为配体,合成其铜(I)配合物[Cu(INHPy)(PPh₃)₂]·(ClO₄)·0.75(C₂H₅OH)并测定了晶体结构。利用共振光散射光谱研究了该配合物与鱼精DNA(fsDNA)的相互作用。

1 实验部分

1.1 试剂与仪器

吡啶-2-甲醛购于FLUKA公司;鱼精DNA购于上海伯奥生物科技有限公司,为生化试剂;其余试剂均为分析纯商品。

FT-IR2000傅立叶红外线光谱仪(KBr压片),扫描范围4000~400 cm⁻¹;PE-2400型全自动微量有机元素分析仪;Siemens P4 X-射线四圆衍射仪;LS-50B荧光分光光度计。

1.2 化合物[Cu(INHPy)(PPh₃)₂]·(ClO₄)·0.75(C₂H₅OH)的合成

INSPy的合成参照文献^[4]。[Cu(PPh₃)₂(MeCN)₂]ClO₄的合成参照文献^[7]。

取0.5 mmol INSPy、0.5 mmol[Cu(PPh₃)₂(MeCN)₂]ClO₄置于小试管中,加乙醇1 mL,摇匀,室温静置。

一天后在试管壁上有橙红色的棱形晶体长出。元素分析(%,(括号内为理论值):C 61.90(62.22),N 5.92(5.86),H 4.75(4.78)。IR(KBr,cm⁻¹):3 293m,1 690m,1 623.5w,1 549.8m,1 476.2m,1 435.3m,1 283.4m,1 120.7vs,1 095.1vs,745.2m,696.2vs,621.9w,613.6m。

1.3 晶体结构的测定

选取大小为0.52 mm×0.40 mm×0.40 mm的单晶体,在Siemens P4 X-射线四圆衍射仪上进行数据收集,使用经石墨单色化的MoK α 线($\lambda=0.071\text{073 nm}$)作为入射光源,环境温度为296(2) K。在 $2.68^\circ \leq 2\theta \leq 50.5^\circ$ 范围内,以 ω -2 θ 扫描方式共收集9 356个衍射数据,其中独立衍射8 586个($R_{\text{int}}=0.012\text{2}$),满足 $I \geq 2\sigma(I)$ 的条件的5 538个衍射作为可观察衍射用于结构解析和修正。采用 Ψ -2 θ 扫描方法对数据作吸收校正,同时对全部强度数据作Lp因子校正。晶体结构用直接法解出。部分氢原子坐标由差值Fourier合成方法得到,其余由理论计算方法加入。结构用最小二乘技术修正。全部非氢原子使用各向异性热参数,氢原子则采用各向同性热参数。最后一轮修正所得的偏离因子为 $R_1=0.039\text{9}$, $\omega R_2=0.092\text{8}$ (权重方案 $\omega=1/[\sigma^2(F_o^2)+(0.055\text{6}P)^2+0.000\text{0}P]$,其中 $P=(F_o^2+2F_c^2)/3$); $(\Delta/\sigma)_{\text{max}}=0.001$; $S=0.885$ 。差值Fourier图上剩余电子密度最高峰值 $\Delta\rho_{\text{max}}=0.566\times 10^3\text{e}\cdot\text{nm}^{-3}$,最低谷值 $\Delta\rho_{\text{min}}=-0.347\times 10^3\text{e}\cdot\text{nm}^{-3}$ 。所有计算均用SHELXT-97程序完成。

CCDC:231388。

收稿日期:2003-12-02。收修改稿日期:2004-04-15。

*通讯联系人。E-mail:tjcai@xtmu.edu.cn

第一作者:蔡铁军,男,51岁,副教授;研究方向:配位化学和催化合成。

2 结果与讨论

2.1 配合物的结构分析

X-射线衍射分析表明该晶体属三斜晶系, 空间群 $P\bar{1}$, 晶胞参数: $a=1.1807(2)$ nm, $b=1.3300(3)$ nm, $c=1.5686(2)$ nm, $\alpha=100.91(1)^\circ$, $\beta=108.863(2)^\circ$, $\gamma=95.51(2)^\circ$, $V=2.3820(7)$ nm³, $Z=4$, $D_c=1.332$ g·cm⁻³, $F(000)=1032$, $\mu=0.634$ mm⁻¹。化合物的分子结构图见图 1。

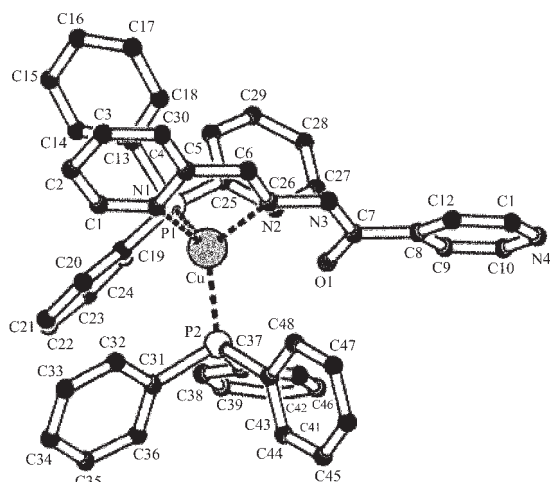


图 1 标题配合物的分子结构

Fig.1 Molecular structure of the title complex

从图 1 可以看出, 金属中心 Cu(I) 采用四配位的变形四面体几何构型。配合物的内界为 [Cu(INHPy)(PPh₃)₂]⁺ 阳离子, 周围被两个分别来自 PPh₃ 配体 P(1)、P(2) 原子和两个来自希夫碱吡啶-2-甲醛缩-异烟肼 N(1) 和希夫碱亚胺 N(2) 原子包围。但并未与异烟肼的羰基氧及吡啶环上 N(3) 配位, 这是由于希夫碱吡啶-2-甲醛缩-2-异烟肼的吡啶的 N(1) 和希夫碱亚胺 N(2) 形成了稳定的五元环, 同时受两个大体积的三苯基磷配体的影响, 使羰基氧及吡啶环上 N(3) 不能参与配位。配合物选择的键长和键角见表 1, 配合物中 Cu-N(1) 键长为 0.2170(2) nm, 比 [Cu(Py)₄]ClO₄ 中 Cu-N 键长 (0.205 nm) 略长^[8], 这可能是大体积配体 PPh₃ 的空间位阻影响。Cu-N(2) 的键长为 0.2145(2) nm 在其正常的键长范围内 (0.1999(9)~0.2161(13) nm), Cu-P 亦在其正常的键长范围内 (0.22652(9)~0.22760(9) nm)^[9]。N(2)-Cu-N(1) 的键角为 76.62(9)°, 是因为 Cu(I) 与 N(1)、N(2) 形成稳定的螯合环的缘故。而 P(2)-Cu-P(1) 的键角为 116.14(3)°, 小于 120°, 与文献^[10] 报道的相似。外界存在 1 个 ClO₄⁻ 阴离子使配合

表 1 配合物的主要键长和键角

Table 1 Selected Bond Lengths (nm) and Angles (°) for the Title Compound

bond	dist.	angle	(°)
Cu-N(2)	0.2145(2)	N(2)-Cu-N(1)	76.62(9)
Cu-N(1)	0.2170(2)	N(2)-Cu-P(2)	117.06(6)
Cu-P(2)	0.22652(9)	N(1)-Cu-P(2)	122.75(6)
Cu-P(1)	0.22760(9)	N(2)-Cu-P(1)	117.50(6)
O(1)-C(7)	0.1204(3)	N(1)-Cu-P(1)	99.91(6)
N(1)-C(1)	0.1329(3)	P(2)-Cu-P(1)	116.14(3)
N(1)-C(5)	0.1350(3)	C(1)-N(1)-Cu	130.2(2)
N(2)-C(6)	0.1280(3)	C(5)-N(1)-Cu	112.8(17)
N(2)-N(3)	0.1386(3)	C(6)-N(2)-Cu	114.66(19)
N(3)-C(7)	0.1355(4)	N(3)-N(2)-Cu	129.08(19)
N(3)-H(3N)	0.078(3)	O(1)-C(7)-N(3)	121.9(3)
N(4)-C(10)	0.1309(4)	O(1)-C(7)-C(8)	121.6(3)
N(4)-C(11)	0.1325(4)		

物保持电中性, 同时外界存在结晶的溶剂分子, 其溶剂分子无序。

2.2 配合物与 DNA 相互作用的共振光散射光谱研究

fsDNA 直接溶于水配成浓度为 100 mg·L⁻¹ 的储备液, 并在 0~4 °C 下保存, 操作液浓度为 20 mg·L⁻¹。于 20 mL 的比色管中加入 3 mL 乙醇, 2.5 mL 0.2 g·L⁻¹ 的配合物溶液 (乙醇为溶剂), 用二次蒸馏水定容至刻度, 小心混匀, 放置 10 min。以 $\lambda_{ex}=\lambda_{em}$ 方式同步扫描, 激发和发射狭缝宽度均为 6 nm, 测得 RLS 光谱如图 2。由图 2 可知, 单独的 fsDNA 溶液和配合物溶液在测定条件下, 350~600 nm 的范围内 RLS 信号都十分微弱。当配合物溶液中加入 DNA 时可产生

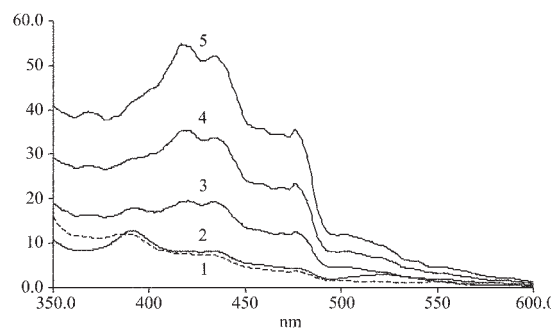


图 2 共振光散射光谱

Fig.2 RLS spectrum

- 1: DNA (1 mg·L⁻¹); 2: complex (25 mg·L⁻¹);
- 3: DNA (0.5 mg·L⁻¹) + 2; 4: DNA (1 mg·L⁻¹) + 2;
- 5: DNA (2 mg·L⁻¹) + 2

较强的RLS信号增强,这是由于该配合物存在伯氨基团(NH)与羰基氧、高氯酸根阴离子以及裸露的毗啶氮,这些基团易与DNA中的某些基团相互结合^[14]。该配合物与fsDNA结合后其RLS强度明显增强,由文献^[15]可知配合物与DNA结合机理是配合物在DNA表面产生聚集并进行长距离组装。光谱曲线在416.75 nm处的RLS信号增强值 ΔI 与加入的DNA的浓度 $C(0\sim2 \text{ mg}\cdot\text{L}^{-1})$ 呈正比关系: $\Delta I=0.804+23.770C$,相关系数 $r=0.995$ 。这说明该配合物有可能作为探针分子用于实际样品中DNA的定量测定。由于抗癌药物的靶目标是DNA,而该配合物与DNA存在强烈相互作用,可进一步探索其用于抗癌药物的可能性^[12~15]。

参 考 文 献

- [1] Hanson J. C., Camerman N., Camerman A. *J. Med. Chem.*, **1981**,**24**,1369.
- [2] Tsintadze G. V., Dzhavakhishvili Z. O., Aleksandrov G. G. et al. *Koord. Khim.*, **1980**,**6**,785.
- [3] Zinner L. B., Crotty D. E., Anderson T. J. et al. *Inorg. Chem.*, **1979**,**18**,2045.
- [4] Richardson D. R., Becker E., Bernhardt P. V. *Acta Crystallogr., Sect C*, **1999**,**55**,2102.
- [5] Jose H., Matthew C., Zhu Z. W. *J. Biol. Chem.*, **2001**,**276**(12),8793.
- [6] Sigman D. S., Milne L., Xu Y. et al. *Met. Genet.*, [Proc. Int. Symp.], 2nd, Meeting Date, **1998**,p197~208.
- [7] Barron P. F., Dyasson J. C., Engelhardt L. M. et al. *Aust. J. Chem.*, **1985**,**38**(2),261.
- [8] Lewin K. D., Michl R. J. *J. Chem. Soc., Chem. Commun.*, **1972**,661.
- [9] Ainscough E. W., Brodie A. M., Ingham S. L. et al. *Inorg. Chim. Acta*, **1996**,**249**,47.
- [10] Klein A., Kasack V., Reinhardt R. et al. *J. Chem. Soc., Dalton Trans.*, **1999**,575.
- [11] Cheng Z. H., Yuan F. L., Xi D. L. *Analytica Chimica Acta*, **1998**,**375**,89.
- [12] Humphreys K. J., Karlin K. D., Rokita S. E. *J. Am. Chem. Soc.*, **2002**,**124**(21),6009.
- [13] Humphreys K. J., Karlin K. D., Rokita S. E. *J. Am. Chem. Soc.*, **2002**,**124**(27),8055.
- [14] Chand D. K., Schneider H. J., Aguilar J. A. et al. *Inorg. Chim. Acta*, **2001**,316,71.
- [15] Mahadevan S., Palaniandavar M. *Inorg. Chim. Acta*, **1997**,**254**,291.

Studies on the Synthesis, Structure of the Schiff Base Copper(I) Complex and Its Interaction with DNA

CAI Tie-Jun^{*1} PENG Zhen-Shan¹ DENG Qian¹ LONG Yun-Fei¹ DENG Tong-Tong¹ YU Kai-Bei²

(¹*College of Chemistry and Chemical Engineering, Hunan University of Science and Technology, Xiangtan 411201*)

(²*Chengdu Institute of Organic Chemistry, Chinese Academy of Sciences, Chengdu 610041*)

A Cu(I) complex $[\text{Cu}(\text{INHPy})(\text{PPh}_3)_2] \cdot (\text{ClO}_4) \cdot 0.75(\text{C}_2\text{H}_5\text{OH})$ was obtained through self-assembly between $[\text{Cu}(\text{PPh}_3)_2(\text{MeCN})_2]\text{ClO}_4$ and Schiff base 2-pyridylcarboxaldehyde isonicotinoyl hadrazone (INHPy), the structure of which was characterized by elemental analysis, IR spectrum and X-ray diffraction. Single crystal X-ray analysis indicates that this compound crystallizes in triclinic system, space group $P\bar{1}$ with parameters: $a=1.1807(2)$ nm, $b=1.3300(3)$ nm, $c=1.5686(2)$ nm, $\alpha=100.91(1)^\circ$, $\beta=108.863(2)^\circ$, $\gamma=95.51(2)^\circ$. $V=2.3820(7)$ nm³, $Z=4$, $D_c=1.332$ g·cm⁻³, $F(000)=1032$, $\mu=0.634$ mm⁻¹. At the same time, we studied the title complex interacting with DNA with resonance light-scattering spectrum. The results showed that intensities of RLS signal are direct proportion to the concentration of DNA, ($\Delta I=0.804+23.770C$, $r=0.995$). CCDC: 231388.

Keywords: self-assembly copper(I) complex crystal structure DNA
resonance light-scattering spectrum